

## リッパー・チップの摩耗特性

愛媛大学工学部 正員 ○ 室 達朗  
愛媛大学工学部 学生員 田中 圭

1. まえがき 今日、リッパー・チップの摩耗に対する岩盤の特性を「摩耗に対する岩盤強度指数」<sup>1)</sup>によって表現し、最大けん引力30トン級のブルドーザによるリッピング作業における標準リッパー・チップの摩耗寿命を予測することが可能となってきた。本研究においては金属材質が異なる場合のリッパー・チップの摩耗特性を把握し、軽・重摩耗域における摩耗寿命の差異より最大寿命をえるための最適な金属材質を見い出すことを目的としている。ここでは、3ヶ所のリッピング作業現場について計15個のチップについて現地摩耗試験を行い、金属材質の差異による摩耗量と摩耗長さの変化、形状変化および摩耗寿命について解析した結果について報告する。

2. リッパー・チップの現地摩耗試験 3ヶ所のリッピング作業現場Ⅰ、ⅡおよびⅢにおいて、それをね8, 4および3個のリッパー・チップについて摩耗重量、先端摩耗長さとリッピング作業時間との関係を実測するとともに形状の経時変化についても測定を行った。図1および図2は、一例として、リッピング作業現場Ⅰにおいて8個のリッパー・チップ A, B, C, ..., H の摩耗量とリッピング作業時間の関係および先端摩耗長さとリッピング作業時間との関係を示した。ここに、リッピング作業時間とは実際にリッピング作業を行っている往復動の時間であり、ドーナツやブッシングなどに要する作業時間を除いたものである。また、この現場ではリッパー・チップ3本を同時にとりつけて作業を行っており、チップの取付け位置による摩耗測定の誤差を消去するためチップA, B, Cは同一材質のものを使用し、材質の差異による摩耗特性の変化を正確に把握することとした。また、図3は同じ作業現場におけるチップの摩耗形状の経時変化の一例を示したものであり、材質相互間の顕著な形状変化特性は見られなかった。

3. 現場における岩盤特性 リッピング作業現場Ⅰ, Ⅱ, Ⅲにおいて、岩盤の弾性波伝播速度を実測するとともに採取した岩塊について室内岩石試験を行った。表1は、これらの試験結果を示したものであり、無き裂岩石の空げき率、弾性波速度より岩盤の弾性波速度を用いて、岩盤のRock Quality指數と空げき率を算定した。<sup>2)</sup> さらに、摩耗に対する岩盤の強度指数を算定した結果、現場Ⅰは軽摩耗域に現場Ⅱ, Ⅲは重摩耗域に属することが判明した。

4. リッパー・チップの材質特性 金属材質としては、鍛造された特殊合金鋼( JIS G 3441, 1966構造用合金鋼鋼管 STKS 2 および JIS G 4103, 1965構造用合

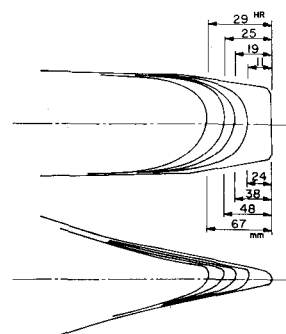


図3 摩耗によるチップの形状変化

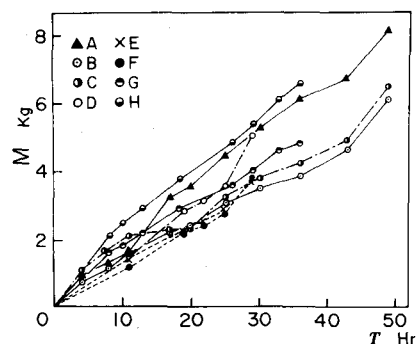


図1 チップの摩耗重量Mとリッピング作業時間Tとの関係

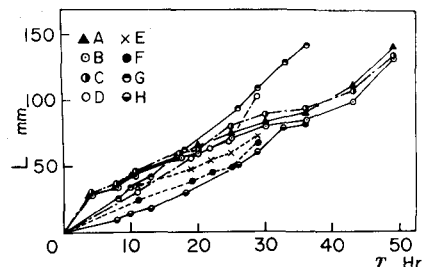


図2 チップの先端摩耗寸法Lとリッピング作業時間Tとの関係

金鋼 SNCM 8 ニッケルクロムモリブデン鋼鋼材に属す), 热处理された SiMnCrMo 鋳鋼や高マンガン鋳鋼 SCMnH IIなどを使用し、それぞれのチップについて金属材料試験を行った。一例として、標準リッパー-チップである鍛造鋼の引張り强度は  $156.5 \text{ Kg/mm}^2$ , 伸び  $6.2\%$ , 絞り  $27.8\%$ , シャルピ-衝撃値は  $5.9 \text{ Kg/m/cm}^2$ , ピッカース硬さは  $402 \pm 61.5$ , ショア硬さ  $55.1$  であり、その化学組成は C :  $0.27\%$ , Si :  $0.29\%$ , Mn :  $0.77\%$ , Ni :  $0.61\%$ , Cr :  $0.51\%$ , P :  $0.018\%$ , S :  $0.018\%$  であった。

5. 現地摩耗試験の結果とその考察 表2は、得られた摩耗試験の結果について、チップの摩耗長さ L とリッピング作業時間 T との関係を直線  $L = aT$  で近似させ、また、チップの摩耗量 M とリッピング作業時間 T との関係を直線  $M = bT$  で近似させ係数値 a, b を示した。いずれも、相關性はきわめて高いことが認められている。また、限界摩耗量を  $7000 \text{ g}$  としたときの摩耗寿命  $T_c$  を b 値より算定している。表中 II-4 は高マンガン鋳鋼で作業中折損によってデータはえられていません。図4は、標準リッパー-チップの摩耗寿命と摩耗に対する岩盤強度指数との関係図であり、

当該リッピング作業現場 I, II, III におけるチップの材質変化による摩耗寿命の範囲を示したものである。図より明らかに、チップの金属材質の差異による摩耗寿命への影響は、重摩耗域において摩耗に対する岩盤強

Site	No.	$L = aT$ a mm hr <sup>-1</sup>	$M = bT$ b g hr <sup>-1</sup>	$T_c(b)$ hr
I	1	2.70	138.7	50.47
	2	3.00	127.6	54.86
	3	2.57	143.6	48.75
	4	2.06	128.3	54.56
	5	2.17	168.1	41.64
	6	3.66	211.0	33.18
II	1	—	21.6	324.07
	2	—	33.5	208.96
	3	—	32.9	212.77
	4	—	—	—
III	1	10.56	507.0	13.81
	2	9.94	562.4	12.46
	3	11.26	641.9	10.90

表1 岩盤および岩石供試体の物理的性質

岩石名	花崗岩	花崗閃緑岩	アルコス質岩	
見かけ比重	2.39	2.575	2.53	
真比重	2.58	2.730	2.62	
自然含水比 (%)	1.28	0.262	0.302	
吸水量 (%)	3.13	0.845	1.71	
単軸圧縮強度 (Kg/cm <sup>2</sup> )	164.8	1107.0	1451.5	
ショア硬さ	74.0	73.1	46.9	
ロサンゼルスオリヘリ減量 (%)	89.3	10.5	32.7	
弾性波速度 V1 岩石 (m/sec)	1493.8	4013.9	4068.0	
弾性波速度 V2 岩盤 (m/sec)	648.0	1402.0	1598.0	
きわみ係数 Cr	0.812	0.878	0.846	
岩石の IQ <sub>1</sub>	88.22	90.91	94.26	
岩盤の IQ <sub>2</sub>	38.27	23.31	37.03	
岩石の開けき率 n <sub>1</sub>	7.36	5.68	3.59	
岩盤の開けき率 n <sub>2</sub>	9.58	8.68	6.13	
K · K <sup>0</sup>	0.236	0.854	0.527	
摩耗に対する岩盤強度指數 $\sigma_c$ (Kg/cm <sup>2</sup> )	7.32	62.15	116.2	
鉱物組成	石英 正長石 斜長石 雲母 石墨 橄欖石 磁鐵鉄 方解石 綠泥石 角閃石 岩片	18.0 74.0 — 8.0 0 0 0 0 0 0 0	14.1 16.7 54.5 0 0 0 0.6 0 0 14.1 0	19.0 32.0 0 0 20.0 0 0 0 0 0

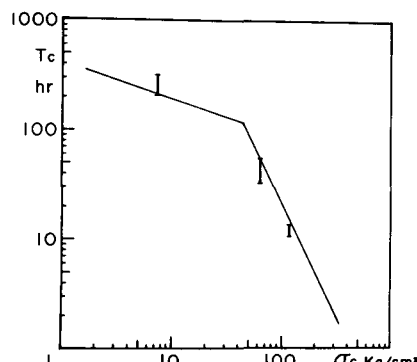


図4 摩耗寿命  $T_c$  と摩耗に対する岩盤強度指數  $\sigma_c$  との関係

度指數が増大する程小さくなる一方、軽摩耗域においては、摩耗に対する岩盤強度指數が減少する程大きくなっている。また、軽摩耗域においては、チップの表面硬さが耐摩耗性を向上させるのに役立っていることが判明した。

6. あとがき チップの金属材質を選定するに当っては、重摩耗域に比較して軽摩耗域において価値があることが明らかとなった。今後、摩耗量とチップ材質特性相互の関係を明らかにする予定である。

7. 文献 里室達朗:岩盤掘削刃の摩耗寿命予測、愛媛大学紀要第三部工学、第9卷第3号、昭55.3., pp.335-348.

2) T.MURO : Wear Characteristics of Rippertip with regard to Metallic Aspects, Memoirs of the Faculty of Engineering, Fukui University, Vol.26, No.2, 1978, pp.297-308.